

**К РАСЧЕТУ ОБТЕКАНИЯ ПЛАСТИНЫ КАПЕЛЬНОЙ ЖИДКОСТЬЮ
С ПЕРЕМЕННОЙ ВЯЗКОСТЬЮ**

B. П. Каширов, А. Т. Луньянов (Алма-Ата)

Рассматривается решение системы уравнений пограничного слоя жидкости с переменной вязкостью при помощи статического электрионтегратора для случая обтекания пластины однородным потоком¹.

Число работ, посвященных изучению неизотермических течений капельной вязкой жидкости, сравнительно невелико. Заметим, что достаточно просто решаются задачи о слоистых течениях (см., например, [1]). Что касается течения в пограничном слое, то авторам известны лишь две работы, в которых удалось найти аналитические решения. В первой из них [2] находится приближенное решение упрощенной системы уравнений пограничного слоя. В работе [3] используется метод Кармана — Польгаузена, дающий, как известно, в основном качественную картину течения.

Интегрирование системы уравнений пограничного слоя с учетом зависимости вязкости от температуры приходится проводить численными методами. При этом исходные дифференциальные уравнения заменяются системой нелинейных конечно-разностных, решение которых связано с большим объемом вычислительной работы и целым рядом специфических трудностей. В этом случае весьма эффективным оказалось применение статических электрионтеграторов [4], значительно упрощающих и ускоряющих процесс счета. Ниже описывается один из вариантов статического электрионтегратора для непосредственного интегрирования системы уравнений неизотермического плоско-параллельного пограничного слоя, возникающего у пластины, обтекаемой однородным потоком.

Рассматриваемая задача приводится в безразмерных переменных к системе уравнений

$$u \frac{\partial u}{\partial x} + v \frac{\partial u}{\partial y} = \frac{\partial}{\partial y} \left[v \frac{\partial u}{\partial y} \right], \quad \frac{\partial u}{\partial x} + \frac{\partial v}{\partial y} = 0, \quad u \frac{\partial \Theta}{\partial x} + v \frac{\partial \Theta}{\partial y} = \frac{1}{P} \frac{\partial^2 \Theta}{\partial y^2} \quad (1)$$

(P — число Прандтля)

с граничными условиями

$$u = 0, \quad v = 0, \quad \Theta = 0 \quad \text{при } y = 0; \quad u = 1, \quad \Theta = 1 \quad \text{при } y = \infty \quad (2)$$

$$\left(u = \frac{U}{U_\infty}, \quad v = \frac{V}{U_\infty}, \quad \Theta = \frac{T - T_w}{T_\infty - T_w}, \quad x = \frac{X}{L}, \quad y = \frac{Y}{L}, \quad L = \frac{v_\infty}{v_0}, \quad P = \frac{v_\infty}{d} \right)$$

Уравнение (1) в конечных разностях, разрешенное относительно искомых функций, имеет вид

$$\begin{aligned} u_{n,k+1} &= \frac{\Delta x}{(\Delta y)^2} \frac{1}{U_{nk}} \frac{1}{a} \sum_{i=1}^a v_i (u_{n+1,k} - u_{nk}) - \\ &- \frac{\Delta x}{(\Delta y)^2} \frac{1}{U_{nk}} \frac{1}{b} \sum_{i=1}^b v_i (u_{nk} - u_{n-1,k}) + u_{nk} - \frac{\Delta x}{\Delta y} \frac{v_{nk}}{U_{nk}} (u_{n+1,k} - u_{nk}) \\ &\left(a = \frac{u_{n+1,k} - u_{nk}}{N}, \quad b = \frac{u_{nk} - u_{n-1,k}}{N} \right) \end{aligned} \quad (3)$$

$$\Theta_{n,k+1} = \frac{\Delta x}{(\Delta y)^2} \frac{1}{U_{nk}} \frac{1}{P} (\Theta_{n+1,k} - 2\Theta_{nk} + \Theta_{n-1,k}) + \Theta_{nk} - \frac{\Delta x}{\Delta y} \frac{v_{nk}}{U_{nk}} (\Theta_{n+1,k} - \Theta_{nk}) \quad (4)$$

$$v_{n,k+1} = v_{n,k} + u_{nk} - u_{n,k+1} \quad (5)$$

¹ Содержание доклада, сделанного на II Всесоюзном съезде по теоретической и прикладной механике 29.I — 6.II 1964 г. в Москве.

Здесь $N = 0.001$ — наименьшее изменение функции, при котором учитывается изменение коэффициентов; v_i — значения коэффициента вязкости, взятые с шагом $N = 0.001$; U_∞ (U_∞ принимается обычно равным единице). Выражение

$$\frac{1}{a} \sum_{i=1}^a v_i \quad (i = 1, 2, \dots)$$

соответствует средней величине в интервале $u_{n+1,k} - u_{nk}$. Если, например, $u_{n+1,k} = 0.235 u_\infty$, $u_{nk} = 0.232 u_\infty$, то

$$a = \frac{0.003}{0.001} = 3, \quad \frac{1}{a} \sum_{i=1}^a v_i = \frac{v_{0.233} + v_{0.234} + v_{0.235}}{3}$$

Статический интегратор состоит из трех дискретных потенциометров высокой разрешающей способности. Отводы от потенциометров выведены на общую коммутационную панель с трехконтактными гнездами (фиг. 1). Потенциометры P_1 и P_2 — функциональные и служат для программирования изменения коэффициентов уравнения; потенциометр P_3 — дискретный; сопротивления R_1 , R_0 , R_2 составляют счетно-решающий элемент. Решение осуществляется путем перемещения счетно-решающего элемента по точкам сеточной области, представленным в интеграторе потенциалами.

Перед началом решения на потенциометрах P_1 и P_2 устанавливаются функциональные зависимости (между номером отвода и напряжением) вида $F_1 = f(\Delta x / \Delta y, v / u)$ и $F_2 = f(v / u)$. После этого при помощи штеккеров со шнурками на концы решающего элемента задают напряжения, пропорциональные значениям функции в выбранных точках сеточной области. На фиг. 1, а, показана схема соединений в интеграторе при решении разностного уравнения (3). Для интегратора можно записать равенство

$$V_{n,k+1} = \frac{1}{2 + R/R_0} \frac{1}{V_{nk}} \frac{1}{a} \sum_{i=1}^a v_i' (V_{n-1,k} - V_{nk}) - \frac{1}{2 + R/R_0} \frac{1}{V_{nk}} \frac{1}{\beta} \sum_{i=1}^{\beta} v_i' (V_{nk} - V_{n-1,k}) + V_{nk} - A (V_{n+1,k} - V_{nk}) \quad \left(\alpha = \frac{V_{n-1,k} - V_{nk}}{N}, \beta = \frac{V_{nk} - V_{n-1,k}}{N} \right) \quad (6)$$

Здесь α и β — числа наименьших долей деления функционального потенциометра, содержащихся в промежутках $V_{n-1,k} - V_{nk}$ или $V_{nk} - V_{n-1,k}$, $v' \sim v$, $a = a$, $\beta = b$. Сравнивая уравнения (3) и (6), найдем условия моделирования

$$\begin{aligned} \frac{\Delta x}{(\Delta y)^2} &= \frac{1}{2 + R/R_0}, & \frac{1}{V_{nk}} \frac{1}{a} \sum_{i=1}^a v_i' &= \frac{1}{u_{nk}} \frac{1}{a} \sum_{i=1}^a v_i \\ \frac{\Delta x}{\Delta y} \frac{v_{nk}}{u_{nk}} &= A, & \frac{1}{V_{nk}} \frac{1}{\beta} \sum_{i=1}^{\beta} v_i' &= \frac{1}{u_{nk}} \frac{1}{b} \sum_{i=0}^{b-1} v_i \end{aligned} \quad (7)$$

При решении уравнения (4) отдельные узлы интегратора соединяются по схеме фиг. 1, б. При этом для интегратора справедливо равенство

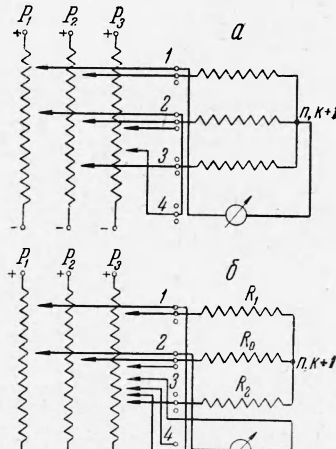
$$V_{n,k+1} = \frac{1}{2 + R/R_0} \frac{1}{V_{nk}} (V_{n+1,k} - 2V_{nk} + V_{n-1,k}) + V_{nk} - A (V_{n-1,k} - V_{nk}) \quad (8)$$

Сравнивая уравнения (4) и (8), найдем условия моделирования

$$\frac{\Delta x}{(\Delta y)^2} \frac{1}{P} = \frac{1}{2 + R/R_0}, \quad \frac{\Delta x}{\Delta y} \frac{v_{nk}}{u_{nk}} = A \quad (9)$$

Для устойчивости процесса счета необходимо выполнение неравенств [5]

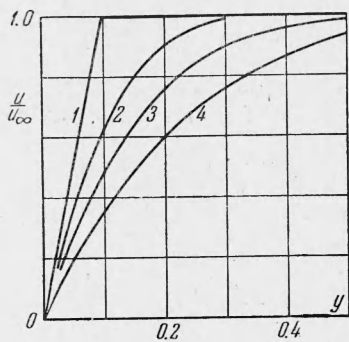
$$\frac{\Delta x}{(\Delta y)^2} \frac{1}{P} \leq \frac{1}{2}, \quad \frac{\Delta x}{(\Delta y)^2} \frac{v}{u} \leq \frac{1}{2}$$



Фиг. 1

При расчетах область разбивается на две сетки — неподвижную ($\Delta x = 0.005$ и $\Delta y = 0.1$) и подвижную ($\Delta x = \Delta y = 0.1$).

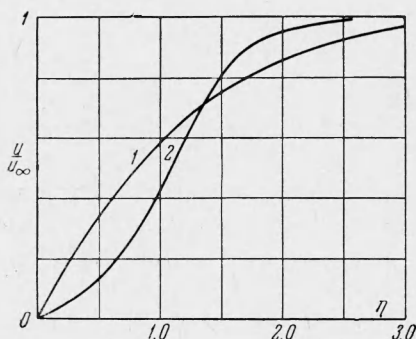
Результаты решения, полученные при помощи статического интегратора описаны выше путем, представлены на фиг. 2—4.



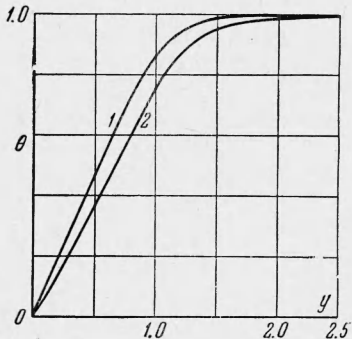
Фиг. 2

На фиг. 2 показано развитие профилей скоростей в пограничном слое вдоль пластины; за начальное распределение скорости при $x = 0$ принята кривая вида 1; кривые 2, 3, 4 соответствуют значениям $x = 3\Delta x, 7\Delta x, 15\Delta x$; при этом кривая 4 соответствует уже автомодельному профилю.

Кривые на фиг. 3 изображены автомодельные профили скорости в пограничном слое, образованном при обтекании однородным потоком воды горячей ($T_w = 80^\circ C, T_\infty = 20^\circ C$ — кривая 1) и холодной ($T_w = 20^\circ C, T_\infty = 80^\circ C$ — кривая 2) пластины. Характерной особенностью этих профилей (которые качественно совпадают с приведенными в книге [2]) является наличие на кривой 2 точки перегиба (для смазочного масла деформация профиля скорости на холодной пластине была бы выражена более резко); для тех же значений T_w и T_∞ пластины и потока на фиг. 4 приведены профили температуры в пограничном слое. Сравнение построенных кривых для профилей скорости с приведенными в работе [2] показывает их качественную близость.



Фиг. 3



Фиг. 4

Результаты расчета позволяют найти соотношения напряжений трения и тепловых потоков на холодной и горячей пластине

$$\begin{aligned} \frac{\tau_{w80}}{\tau_{w20}} &= \left(\frac{v_{80}}{v_{20}} \right)^{1/2} \frac{\partial u}{\partial \eta} \Big|_{w80} / \frac{\partial u}{\partial \eta} \Big|_{w20} & \left(\frac{\tau_{w80}}{\tau_{w20}} = 1.20 \right) \\ \frac{q_{w80}}{q_{w20}} &= - \left(\frac{v_{20}}{v_{80}} \right)^{1/2} \frac{\partial \Theta}{\partial \eta} \Big|_{w20} / \frac{\partial \Theta}{\partial \eta} \Big|_{w80} & \left(\frac{q_{w80}}{q_{w20}} = 1.30 \right) \end{aligned} \quad (10)$$

В скобках указаны значения для воды.

Точность результатов определяется величинами шагов сетки, принятой схемой счета, и тщательностью изготовления отдельных узлов интегратора.

Поступила 1 IV 1964

ЛИТЕРАТУРА

- Регирер С. А. Некоторые термогидродинамические задачи об установившемся одномерном течении вязкой капельной жидкости. ПММ, 1957, т. 24, вып. 3.
- Тарг С. М. Основные задачи теории ламинарных течений. Гостехиздат, М.—Л., 1951.
- Наппа О. Т., Myers J. E. Amer. J. Chem. Engng J., 1961, vol. 7, No. 3.
- Вулис Л. А., Лукьянов А. Т. Статические аналоговые устройства. Сб. «Вопросы вычислительной математики и вычислительной техники». Машгиз, М., 1963.
- Панов Д. Ю. Справочник по численному решению дифференциальных уравнений в частных производных. Гостехиздат, М.—Л., 1951.